

**M. Nikouei Mahani**

Department of Civil Engineering, Research Institute for Natural Disasters, Shakhes pajouh, Esfahan, Iran.

**e-mail:** civilman1390@gmail.com

**A. Mahmoudzade\***

Department of Civil Engineering, Research Institute for Natural Disasters, Shakhes pajouh, Esfahan, Iran.

**e-mail:** Amiramj1@yahoo.com

**M. Emamgholi Babadi**

Department of Civil Engineering, Research Institute for Natural Disasters, Shakhes pajouh, Esfahan, Iran.

**e-mail:** Civilman2007@gmail.com

## **Expression an Effective Method in Generation of Random Samples to Calculate the Failure Probability of Structures With MC Method**

*Reliability theory is a part of the general theory of probability that earned a special place in engineering science over recent decades. This theory has a logical framework. It provides the actual safety assessment possibility of a system by analyzing the uncertainties using mathematical methods. These uncertainties are caused by the statistical nature of engineering problems. Reliability is a scale that can measure the probability of failure or safety of a system. So far, various methods have been proposed to estimate the probability of failure of a phenomenon. MCS is one of the most important and most widely used approaches in this field. Many steps will be removed by providing a simple and effective method. The data generated in this method is based on the histogram. SGH, there is no need to curve fitting test. This method is very useful in case data on the studied phenomenon be available in sufficient number, and continuous histograms could be created. The general performance of SGH is passing the histogram of uniform data scattered in three-dimensional space and select samples in the diagram area. As well as, it provided three practical examples. The first one is estimating the failure probability of a concrete beam under moment load with four random variables. The second example expressed failure probability of a steel beam, and the third one is about sliding and overturning failure of SHAFAROUD concrete gravity dam. Results were compared with the usual method of sample generation and indicated the effectiveness and accuracy of the responses of the proposed method.*

**Keywords:** Sample generation; Reliability; Histogram; Monte Carlo; Probability of failure.

---

\* Corresponding author

Received 08 September 2019, Revised 04 November 2019, Accepted 09 November 2019.  
DOI: 10.22091/cer.2019.4781.1171

## ارائه روشی مؤثر در تولید نمونه‌های تصادفی برای محاسبه احتمال خرابی سازه‌ها به روش مونت کارلو

نظریه قابلیت اطمینان، شاخه‌ای از تئوری عمومی احتمالات است که طی دهه‌های اخیر، به تدریج جایگاه ویژه‌ای در علوم مهندسی کسب کرده است. به طور کل، قابلیت اطمینان، مقیاسی است که می‌توان احتمال خرابی و یا سلامت یک سیستم را توسط آن سنجید. تاکنون روش‌های متنوعی در برآورد احتمال خرابی یک پدیده ارائه شده است که روش مونت کارلو یکی از مهم‌ترین و پرکاربردترین روش‌ها در این زمینه است. در پژوهش حاضر با ارائه یک روش بسیار مؤثر و ساده، تعداد زیادی از گام‌های مورد نیاز در تولید داده‌های تصادفی حذف خواهد شد. تولید داده در این روش، برمنای نمودار هیستوگرام بوده و هیچ نیازی به آزمون‌های سازگار نمودن توابع مختلف با داده‌ها نمی‌باشد. این روش در مواردی بسیار پرکاربرد می‌باشد که داده‌های مربوط به پدیده مورد بررسی به تعداد کافی در دسترس بوده تا نمودار هیستوگرام پیوسته‌ای ایجاد شود. با گذراندن این نمودار از داده‌های یکنواخت پراکنده شده در فضای سه‌بعدی، می‌توان متغیرهایی با توزیع کاملاً هماهنگ با داده‌ها بدست آورد. همچنین چهار مثال عملی در مورد برآورد احتمال خرابی یک تیر بتن مسلح یک دهانه و تیر فولادی چند دهانه، احتمال خرابی لغزشی و واژگونی سد بتنی وزنی شفارود و احتمال خرابی قوسی پل بورکریگ ارائه شده که نتایج آن بیانگر کارآیی و دقت روش پیشنهادی می‌باشد.

**واژگان کلیدی:** تولید نمونه، قابلیت اطمینان، هیستوگرام، مونت کارلو، احتمال خرابی.

### مهندی نیکوئی ماهانی

پژوهشگاه مهندسی بحران‌های طبیعی، اصفهان، ایران.  
پست الکترونیک:  
civilman1390@gmail.com

### امیر محمودزاده\*

پژوهشگاه مهندسی بحران‌های طبیعی، اصفهان، ایران.  
پست الکترونیک:  
Amiramj1@yahoo.com

### منوچهر امامقلی بابادی

پژوهشگاه مهندسی بحران‌های طبیعی، اصفهان، ایران.  
پست الکترونیک:  
Civilman2007@gmail.com

واقعیت رخ می‌دهد ارتباط برقرار می‌کند. به طور کلی برای به دست آوردن قابلیت اطمینان با روش‌های معمول، لازم است تا این مراحل طی شود:

- (الف) مرزبندی روش‌ن بین ضوابط خرابی و سلامت طرح مورد نظر، یا به عبارتی ارائه یک تعریف دقیق برای خرابی؛
- (ب) انتخاب یک مدل قطعی که متغیرهای اصلی را به ضابطه خرابی یا ایمنی مربوط سازد؛
- (ج) تشخیص عدم قطعیت در مدل اصلی؛
- (د) به دست آوردن توابع توزیع احتمال به همراه ممان‌های آماری متغیرهای اصلی [۲].

با انجام مراحل ذکر شده، می‌توان به تحلیل لازم برای به دست آوردن قابلیت اطمینان پرداخت. بخش (۵)

### ۱- مقدمه

بهترین تعریفی که تاکنون برای نظریه قابلیت اطمینان بیان شده توسط مؤسسه ملی هوافضای آمریکا<sup>۱</sup> است که این چنین می‌باشد: قابلیت اطمینان، احتمال عملکرد باکیفیت یک سیستم، تحت شرایط کاری از پیش تعیین شده و برای مدت زمانی معین است [۱]. این تعریف، مشخص می‌کند قابلیت اطمینان بیانگر نوعی احتمال است که بین عملکرد سیستم، با آنچه که در

\* نویسنده مسئول

تاریخ: دریافت ۱۷.۰۶.۱۳، بازنگری ۱۳۹۸/۰۸/۱۳، پذیرش ۱۳۹۸/۰۸/۱۸  
 DOI: 10.22091/cer.2019.4781.1171

۱- NASA

استفاده قرار گرفت [۱۳]. به طوری که در سال ۱۹۷۰ تا ۱۹۷۴ شاخص قابلیت اطمینان با تعریف کوتاه‌ترین فاصله از سطح خرابی تا مبدأ مختصات در توزیع نرمال استاندارد توسط هاسوفر<sup>۹</sup> و لیند ارائه گردید [۱۰]. پژوهشگری دیگر، اثر خطاهای انسانی در نظریه قابلیت اطمینان را مورد بررسی قرار داده و به این نتیجه رسید که تقریباً همیشه خطاهای انسانی باعث ایجاد خرابی می‌شود [۱۴]. محققان در سال ۱۹۷۸، الگوریتمی برای محاسبه قابلیت اطمینان سازه تحت بار ترکیبی ارائه نمودند [۷]. همچنین، مک‌کی<sup>۱۰</sup> و همکاران روش نمونه‌گیری لاتین را ابداع نمودند. در این روش، محدوده تغییرات هر متغیر به بازه‌هایی با احتمال مساوی تقسیم شده و فضای متغیرها به صورت ابرمکعب‌هایی تقسیم می‌شوند که نمونه‌گیری از محدوده هریک از این ابرمکعب‌ها به عمل می‌آید و نهایتاً احتمال خرابی به شکل معمول براساس قضیه احتمال کل بدست می‌آید [۱۵]. در حدود سال‌های ۱۹۸۲ تاافت کریستن<sup>۱۱</sup>، روش جداسازی  $\beta$  را برای تحلیل قابلیت اطمینان سیستم‌های سازه‌ای در تئوری قابلیت اطمینان ممان دوم- مرتبه اول بیان کرد [۱۶]. بعدها به کمک سورنسن<sup>۱۲</sup> این روش، تکمیل گردید [۲]. در سال ۱۹۸۴، در پژوهشی، روش شبیه‌سازی نمونه‌گیری با اهمیت ارائه شد [۱۷]. در روش‌های متداول تولید نمونه‌های تصادفی و محاسبه احتمال خرابی به روش مونت کارلو، توابع مختلف توزیع احتمال بر روی هیستوگرام داده‌ها قرار داده می‌شوند، تابع با کمترین خطا انتخاب شده و نمونه‌ها توسط معکوس تابع تجمعی تابع موردنظر تولید می‌شوند. در این مطالعه، روشی جدید برای تولید نمونه‌های تصادفی ارائه شده است. اساس این روش، استفاده از خود نمودار هیستوگرام داده‌ها می‌باشد. به این ترتیب که

از گام‌های ذکر شده دارای پیچیدگی‌های زیاد بوده و گاهی در برخی موارد ممکن است تابع مناسبی برای توزیع داده‌ها یافت نشود [۳]. لذا این مرحله در روش پیشنهادی حذف شده و با ارائه بیانی ساده از تولید داده‌ها، به راحتی می‌توان برای هر نوع توزیعی بدون هیچ‌گونه آزمونی، نمونه‌هایی کاملاً مطابق با داده‌های آماری متغیرهای تصادفی تولید نمود.

اولین مرحله از تئوری قابلیت اطمینان طی سال‌های ۱۹۲۰ تا ۱۹۶۰ شروع شد [۴]. فارسل<sup>۲</sup> در سال ۱۹۲۴، اصل بهینه‌بایی را مطرح نمود و میر<sup>۳</sup> نیز در سال ۱۹۲۶، طرحی را براساس میانگین و واریانس متغیرهای تصادفی پیشنهاد کرد [۵]. جانسون<sup>۴</sup> در سال ۱۹۵۳، با استفاده از توابع ویبول<sup>۵</sup> تئوری قابلیت اطمینان سازه و طراحی اقتصادی را که شامل تئوری‌های آماری بود، مطرح کرد [۶]. در پژوهشی دیگر، مسائل مقدماتی ایمنی سازه یک عضوی تحت بار تصادفی را ارائه گردید [۷]. در سال ۱۹۶۰ محققی دیگر، اندازه‌های ایمنی را مطرح کرد [۸]. بعدها شاخص ایمنی بیان شد و سپس الگوریتمی را جهت استفاده از ممان دوم پیشنهاد گردید [۹]. لیند<sup>۶</sup>، نشان داد که شاخص ایمنی کرنل برای بدست آوردن مجموعه‌ای از فاکتورهای ایمنی در بارها و مقاومت‌ها لازم است [۱۰]. این بررسی با تحلیل قابلیت اطمینان برای استفاده کاربردی در روش‌های طراحی مرتبط بود که توسط راویندرا<sup>۷</sup> ارائه گردید [۱۱]. در ادامه کار بر روی نظریه قابلیت اطمینان ممان دوم، مشکلات عدم یگانگی پاسخ و شاخص قابلیت اطمینان مشخص شد که در سال ۱۹۷۳ به طور جدگانه مسائل عدم تغییر<sup>۸</sup> کشف شد [۱۲]. در حدود سال ۱۹۷۰، طراحی سازه براساس قابلیت اطمینان ممان دوم ارائه شد و به طور وسیعی مورد

<sup>2</sup>- Farsell

<sup>3</sup>- Mayer

<sup>4</sup>- Johnson

<sup>5</sup>- Weibull

<sup>6</sup>- Lind

<sup>7</sup>- Ravindra

<sup>8</sup>- Invariance

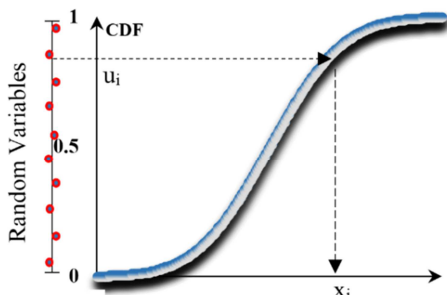
<sup>9</sup>- Hasofer

<sup>10</sup>- McKay

<sup>11</sup>- Thoft Christensen

<sup>12</sup>- Sorensen

- (الف) تولید اعداد تصادفی  $v_i$  در بازه صفر و یک؛  
 (ب) انتقال این اعداد تصادفی بهتابع توزیع تجمعی احتمال؛  
 (ج) بهدست آوردن مقدار  $x_i$  هر نمونه با استفاده از معکوس تابع تجمعی در نقطه تصادفی  $v_i$  [۲] و [۲۰]. این مراحل بهصورت شماتیک در شکل ۱ نشان داده شده‌اند.



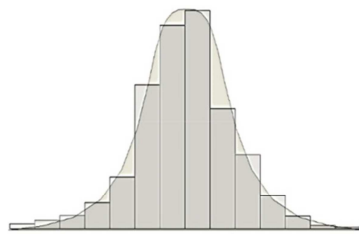
شکل ۱- مراحل تولید اعداد تصادفی با استفاده از معکوس تابع تجمعی [۲] و [۲۰]

با بیان دیدگاهی دیگر، می‌توان تولید داده‌ها در این روش را مطابق شکل ۲ بیان کرد.

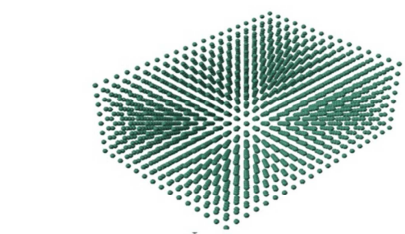
هیستوگرام داده‌ها از فضای یکنواخت نمونه‌ها در فضا عبور داده شده و تمامی نقاط قرار گرفته شده در محدوده هیستوگرام بهعنوان نمونه تصادفی انتخاب می‌شوند.

## ۲- تولید داده‌ها به روش معمول برای محاسبه احتمال خرابی به روش مونت کارلو

روش مونت کارلو عبارت است از هنر تقریب زدن امید ریاضی با استفاده از میانگین نمونه‌ای تابعی از متغیرهای تصادفی شبیه‌سازی شده [۱۸ و ۱۹]. امروزه این روش بهطور گستردۀ تقریباً در تمامی رشته‌های مهندسی برای ارزیابی میزان احتمال خرابی قطعات مکانیکی، الکتریکی و انواع سازه‌ها کاربرد دارد. احتمال خرابی یک سیستم با استفاده از این روش، با تقسیم تعداد نقاطی که در ناحیه خرابی قرار می‌گیرند بر تعداد تمامی نمونه‌های شبیه‌سازی شده، بهدست می‌آید [۱۹]. این نمونه‌ها با استفاده از معکوس تابع توزیع تجمعی احتمال بهدست می‌آیند [۲، ۱۹ و ۲۰]. بهطور کل، سه مرحله برای تولید نمونه‌های تصادفی وجود دارد. این سه مرحله عبارتنداز:



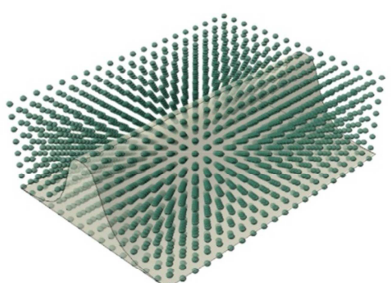
(الف) سازگار نمودن نمودار تابع توزیع با نمودار هیستوگرام



(ب) در نظر گرفتن نمونه‌ها با توزیع یکنواخت در فضا



(د) برگزیدن نمونه‌هایی واقع در ناحیه تابع توزیع

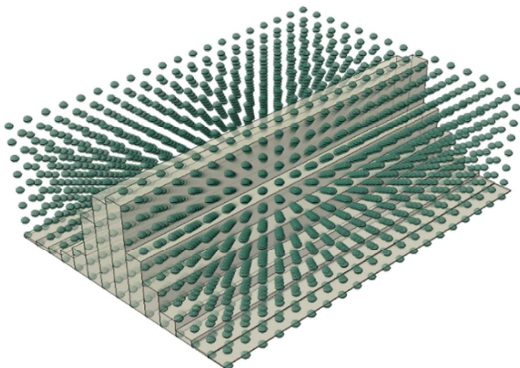


(ج) عبور دادن تابع توزیع از فضای سه‌بعدی نمونه‌ها

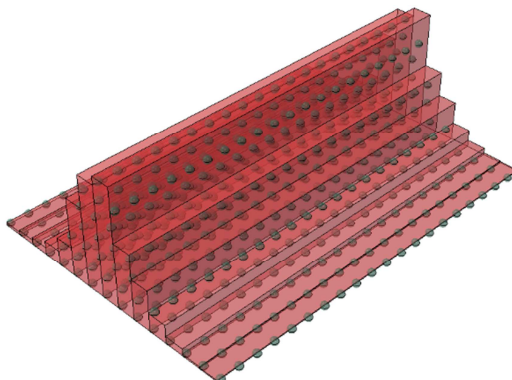
شکل ۲- شماتیکی از روش ارائه شده

در روش پیشنهادی با نام مخفف<sup>۱۵</sup> SGH، بهجای استفاده از توابع توزیع احتمالاتی، از خود نمودار هیستوگرام استفاده می‌شود. به این صورت که بدون استفاده از تابع توزیع، نمودار هیستوگرام نسبی داده‌ها از میدان یکنواخت فضای نمونه عبور داده می‌شوند و نقاطی که در ناحیه نمودار هیستوگرام قرار گرفتند به عنوان نمونه‌های تصادفی انتخاب می‌گردند.

با توجه به شکل‌های ۳ و ۴ مشاهده می‌شود که نمونه‌ها بدون استفاده از هیچ‌گونه تابع توزیع تولید شده‌اند. برای این منظور، داده‌ها به نرم‌افزار متلب وارد شده و پس از انجام تحلیل، نمودار هیستوگرام آنها ایجاد می‌شود.



شکل ۳- عبور دادن هیستوگرام از فضای سه‌بعدی نمونه‌ها



شکل ۴- انتخاب نمونه‌های قرار گرفته در ناحیه هیستوگرام در ادامه با توجه به تعداد نمونه‌های مورد نیاز و در نظر گرفتن احتمال هر باند، در صورت قرارگیری

مطابق شکل ۲- (الف)، برای تولید نمونه‌ها ابتدا هیستوگرام فراوانی نسبی داده‌ها رسم شده، سپس بهترین تابع توزیع مربوط به آن انتخاب می‌شود. در دیدگاه ارائه شده طبق شکل ۲- (ب)، میدانی از نمونه‌ها با توزیع یکنواخت در فضای سه‌بعدی در نظر گرفته می‌شود. سپس تابع توزیع ذکر شده از فضای نمونه‌ها مانند شکل ۲- (ج) عبور داده خواهد شد. در آخر، نقاطی که در ناحیه درونی تابع توزیع قرار می‌گیرند، به عنوان نمونه‌های تصادفی انتخاب می‌شوند. این نقاط دارای توزیعی مشابه با داده‌های اولیه که در هیستوگرام ارائه شدند خواهند بود. پس از آن این نقاط تولید شده در تابع شرایط حدی قرار داده شده و احتمال خرابی توسط آن محاسبه خواهد شد.

### ۳- روش پیشنهادی برای تولید داده‌ها

در روش‌های معمول تولید نمونه، نیاز است ابتدا چندین تابع توزیع مطابق با میانگین و واریانس و در برخی موارد چندین پارامتر دیگر نمونه‌ها، ایجاد شود؛ سپس این تابع توزیع بر روی نمودار هیستوگرام داده‌ها قرار داده شده و با استفاده از آزمایش‌های مختلف مانند کالسکور<sup>۱۳</sup> و یا کولموگروف- اسمیرنوف<sup>۱۴</sup>، تابعی که دارای کمترین درصد خطأ با توزیع نمونه‌هاست، به عنوان بهترین تابع توزیع انتخاب شود. در ادامه، می‌بایست توسط معکوس تابع تجمعی آن، نمونه‌هایی مطابق با توزیع داده‌ها تولید شوند.

روش معمول ذکر شده بسیار زمان‌بر بوده و انتخاب بهترین تابع توزیع، نیازمند پذیرفتن مقداری خطا می‌باشد. همچنین محاسبه معکوس تابع توزیع تجمعی نیز دشوار بوده، گاها برای برخی توابع غیرممکن بوده و نیازمند استفاده از روش‌های تقریبی می‌باشد. برای از بین بردن این تقریب‌ها و مشکلات، راه حل جدیدی در این مطالعه ارائه شده است.

<sup>13</sup>- Chi-Squared

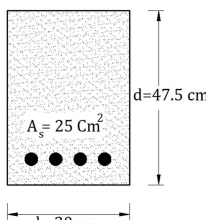
<sup>14</sup>- Kolmogorov-Smirnov

۱۵- Sample Generation with Histogram

سراسری سه دهانه تحت بار گسترده را بیان می‌کند. سومین مثال، به احتمال خرابی لغزشی و واژگونی یک سد بتی وزنی تحت بارگذاری هیدرولاستاتیک، هیدرودینامیک و زمین‌لرزه اختصاص دارد.

#### ۴- احتمال خرابی تیر بتن مسلح

اولین مسئله تشریح شده مربوط به محاسبه احتمال خرابی تیر بتن مسلح تحت لنگر می‌باشد که مقطع آن در شکل ۶ نشان داده شده است.



شکل ۶- سطح مقطع تیر بتن مسلح [۲۰]

لنگر قابل تحمل در مقطع نشان داده شده در شکل

۶، از رابطه (۱) محاسبه می‌شود [۲۰]:

$$M = A_s F_y \left( d - 0.59 \frac{A_s F_y}{f'_c \times b} \right) = A_s F_y d - 0.59 \frac{(A_s F_y)^2}{f'_c \times b} \quad (1)$$

در رابطه (۱)،  $A_s$  سطح مقطع فولاد،  $F_y$  تنش حد جاری شدن فولاد،  $f'_c$  مقاومت فشاری بتن،  $b$  عرض مقطع تیر و  $d$  عمق مؤثر آن می‌باشد. هدف، تعیین حالت حدی است که در آن تجاوز لنگر بارهای واردہ از لنگر قابل تحمل مقطع، مورد بررسی قرار گرفته است تا بتوان توسط آن احتمال خرابی تیر را محاسبه نمود. بنابراین تابع حالت حدی تیر را می‌توان طبق رابطه (۲) نوشت [۲۰]:

$$g_{ConcreteBeam} \left( A_s, F_y, f'_c, Q \right) = F_y d - 0.59 \frac{(A_s F_y)^2}{f'_c \times b} - Q \quad (2)$$

در رابطه (۲)،  $Q$  نشان‌دهنده لنگر ناشی از بارهای واردہ به تیر می‌باشد. متغیرهای تصادفی این مسئله عبارتنداز:  $A_s$ ،  $F_y$ ،  $f'_c$  و  $d$ . مقادیر  $b$  و  $Q$  نیز قطعی فرض شده‌اند.

نمونه‌های یکنواخت در ناحیه سه‌بعدی ایجاد شده توسط هیستوگرام، به عنوان یک نمونه انتخاب می‌شوند. فلوچارت روش پیشنهادی در شکل ۵ نشان داده شده است.



شکل ۵- فلوچارت روش ارائه شده

#### ۴- مثال‌ها

در بخش حاضر، چهار مثال کاربردی از دو روش معمول و روش بیان شده ارائه می‌شود و پاسخ‌های بهدست آمده از هر روش با یکدیگر مقایسه می‌گردد. مثال اول مربوط به احتمال خرابی تیر بتن مسلح تحت لنگر می‌باشد. مثال دوم، احتمال خرابی یک تیر فولادی

روش بسیار به یکدیگر نزدیک بوده و پراکندگی پاسخ که حاصل تولید اعداد تصادفی می‌باشد، با این تعداد نمونه جبران شده است. میانگین احتمال خرابی که با خطوط پیوسته نمایش داده شده است، در هر دو روش، تطابق بسیار بالایی با یکدیگر داشته‌اند.

#### ۲-۴- احتمال خرابی تیر سراسری سه دهانه

مثال دوم ارائه شده در پژوهش حاضر، مربوط به میزان نشست تیر فولادی سراسری سه دهانه تحت بار زنده  $W$  می‌باشد که در شکل ۸ نشان داده شده است. متغیرهای تصادفی که در این مسئله وجود دارند عبارتنداز: بار گسترده ( $W$ )، مدول الاستیسیته ( $E$ ) و ممان اینرسی ( $I$ ). طول دهانه ( $L$ ) نیز مقدار ثابت ۵ متر در نظر گرفته شده است.

طبق بند ۲-۱۰-۲ مبحث دهم مقررات ملی ساختمان (طرح و اجرای ساختمان‌های فولادی) حداقل تغییرشکل ناشی از بار زنده تیرها و شاهتیرهایی که سقف نازک‌کاری شده را تحمل می‌کنند، نباید از  $\frac{1}{36}$  طول دهانه بیشتر شود. از طرفی در آیین‌نامه AISC ذکر شده است که بیشترین خیز تیر مورد بحث برابر  $\frac{wL^4}{EI} \cdot 69\%$  می‌باشد که در فاصله  $L/46$  از دو انتهای آن به وجود می‌آید. بنابراین تابع حالت حدی را می‌توان طبق رابطه (۳) نوشت:

$$g_{SteelBeam}(w, L, E, I) = \frac{L}{360} - 0.0069 \frac{wL^4}{EI} \quad (3)$$

با برآوردهای عددی مربوط به هرکدام از پارامترهای بار گسترده، مدول الاستیسیته و ممان اینرسی، هیستوگرام و توابع توزیع مطابق با جدول ۲ به‌دست آمد.

با توجه به جدول ۲، هر سه متغیر تصادفی در این مثال، دارای توزیع نرمال بوده‌اند. این بار هم مشابه با قبل نمونه‌های تصادفی به تعداد ۱۰۰۰، ۲۰۰۰، ۳۰۰۰ و ۵۰۰۰ نمونه با استفاده از تابع توزیع نرمال تولید شدند.

پس از انجام تحلیل بر روی داده‌های مربوط به سطح مقطع میلگرد، تنش جاری شدن میلگرد، مقاومت فشاری بتن و لنگرهای واردہ که به عنوان متغیر تصادفی در نظر گرفته شدند، با ارزیابی توابع نرمال<sup>۱۶</sup>، لوگ نرمال<sup>۱۷</sup>، بتا<sup>۱۸</sup>، ویبول، گاما<sup>۱۹</sup>، یکنواخت<sup>۲۰</sup>، نمایی<sup>۲۱</sup> و رایلی<sup>۲۲</sup>، نتایج به‌دست آمده مطابق جدول ۱ به‌دست آمد. همانطور که در جدول ۱ بیان شد، متغیرهای سطح مقطع میلگرد، تنش حد جاری شدن فولاد و مقاومت بتن، دارای توزیع نرمال بوده و لنگر واردہ از تابع توزیع ویبول پیروی می‌کند. نمونه‌های تصادفی توسط هر دو روش به تعداد ۱۰۰۰، ۲۰۰۰، ۳۰۰۰، ۴۰۰۰ و ۵۰۰۰ نمونه با استفاده از این توابع و پارامترهای مربوط به تابع، تولید شدند. سپس نمونه‌ها در تابع شرایط حدی قرار داده شده و برای هر کدام از تعداد نمونه‌ها، احتمال خرابی تیر ۱۰ مرتبه محاسبه گردید. میانگین ۱۰ پاسخ به‌دست آمده به عنوان احتمال خرابی تیر مورد بررسی قرار گرفت. همچنین بار دیگر، نمونه‌های تصادفی توسط روش نوین ارائه شده در این پژوهش به کمک هیستوگرام تولید شدند و احتمال خرابی با پنج تعداد مختلف نمونه ذکر شده محاسبه شد. این احتمال نیز برای هر کدام از تعداد نمونه‌ها ۱۰ مرتبه به‌دست آمد و میانگین آن با احتمال خرابی به‌دست آمده توسط تابع توزیع، مورد بحث قرار گرفت.

با توجه به شکل ۷، با استفاده از ۱۰۰۰ نمونه، مشاهده می‌شود که پراکندگی پاسخ‌ها زیاد می‌باشد، اما میانگین احتمال خرابی که با استفاده از روش معمول و روش SGH به‌دست آمد کاملاً برهمنطبق بوده است. با افزایش تعداد نمونه‌ها، پراکندگی پاسخ‌های به‌دست آمده کمتر شد و نتایج به‌هم نزدیک‌تر شدند. به طوری که با استفاده از ۵۰۰۰ نمونه، پاسخ‌های به‌دست آمده از هر دو

<sup>16</sup>- Normal

<sup>17</sup>- Log Normal

<sup>18</sup>- Beta

<sup>19</sup>- Gamma

<sup>20</sup>- Uniform

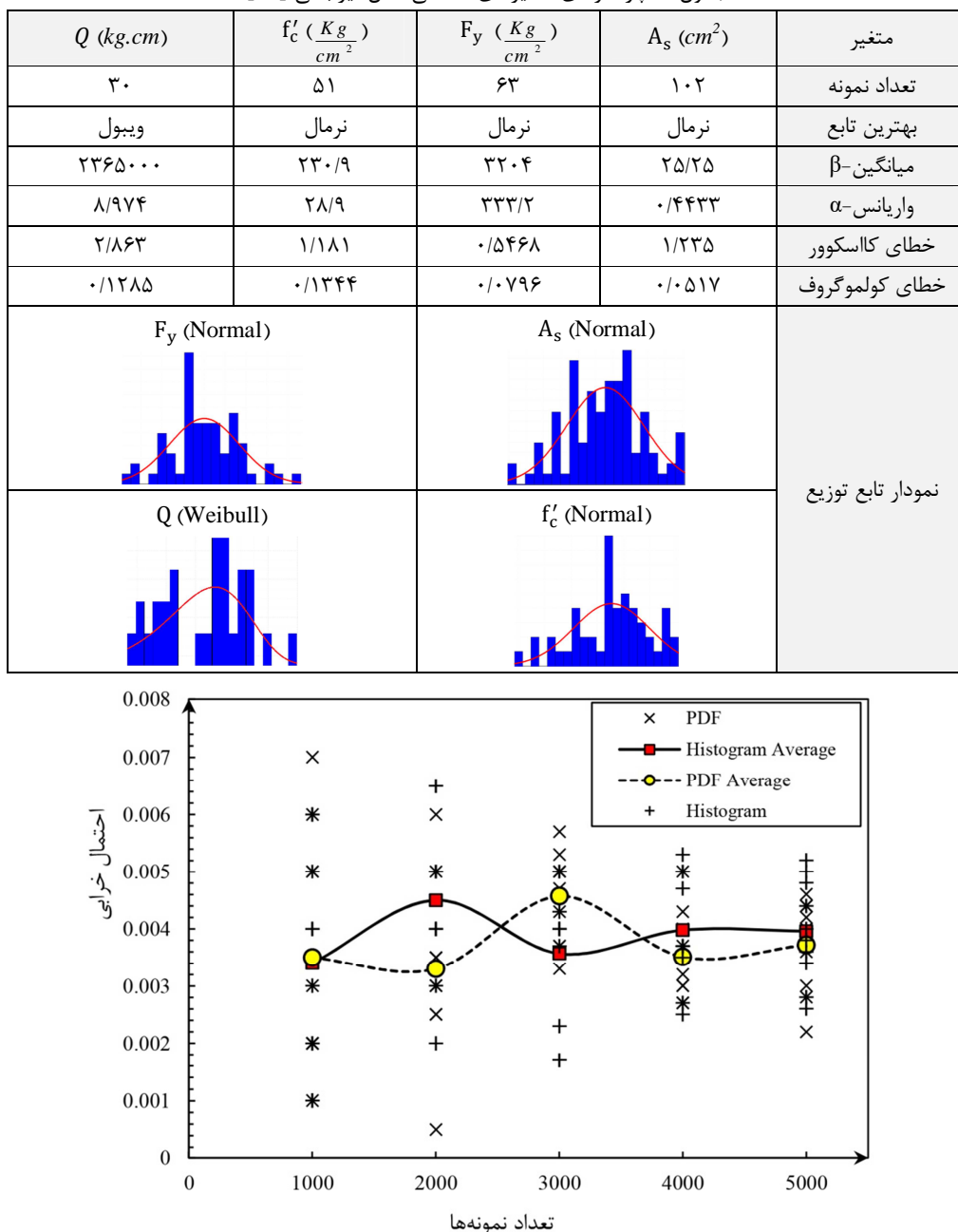
<sup>21</sup>- Exponential

<sup>22</sup>- Rayleigh

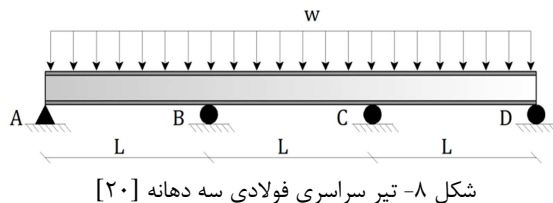
و به کمک هیستوگرام، تولید شدند و احتمال خرابی با پنج تعداد مختلف نمونه ذکر شده محاسبه شد. این احتمال نیز برای هر کدام از تعداد نمونه‌ها ۱۰ مرتبه به دست آمده و میانگین آن با احتمال خرابی به دست آمده توسطتابع توزیع مقایسه شد که در شکل ۹ نشان داده است.

سپس با جایگذاری نمونه‌ها درتابع شرایط حدی، برای هر کدام از تعداد نمونه‌ها، احتمال خرابی تیر به تعداد ۱۰ مرتبه محاسبه شد و میانگین ۱۰ پاسخ به دست آمده به عنوان احتمال خرابی تیر مورد بررسی قرار گرفت. همچنانی بار دیگر، نمونه‌های تصادفی توسط روش SGH

جدول ۱- پارامترهای متغیرهای تصادفی مثال تیر بتنی [۲۰]



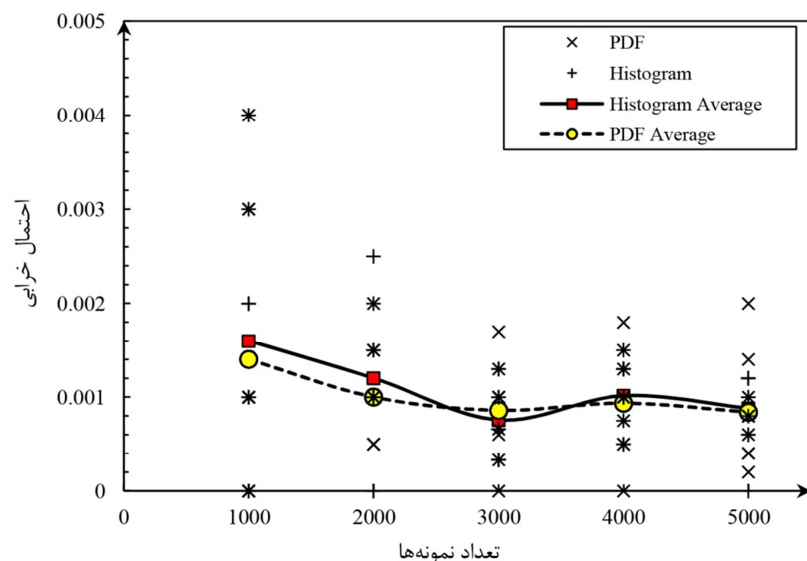
شکل ۷- پاسخ دو روش در برآورد احتمال خرابی تیر بتنی



شکل ۸- تیر سراسری فولادی سه دهانه [۲۰]

جدول ۲- پارامترهای متغیرهای تصادفی تیر فولادی [۲۰]

$w \frac{KN}{m}$	$I (m^4)$	$E \frac{KN}{m^2}$	متغیر	
۴۹	۷۳	۶۸	تعداد نمونه	
نرمال	نرمال	نرمال	بهترین تابع	
$9/977$	$8/111 \times 10^{-4}$	$20/0.5 \times 10^6$	میانگین	
$0/3918$	$1/454 \times 10^{-4}$	$4/623 \times 10^6$	واریانس	
$1/723$	$2/895$	$4/0.58$	خطای کالاسکور	
$0/0.768$	$0/0.586$	$0/0.898$	خطای کولموگروف	
I (Normal)			نمودار تابع توزیع	
E (Normal)				
w (Normal)				

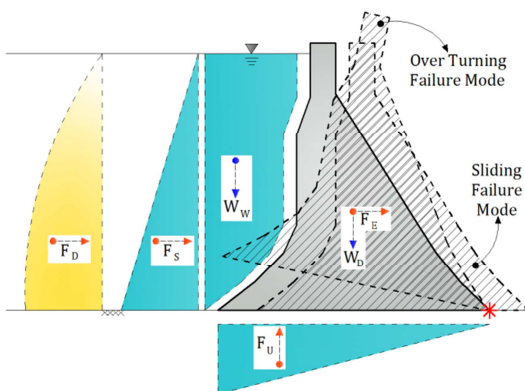


شکل ۹- پاسخ دو روش در برآورد احتمال خرابی تیر فولادی

میانگین پاسخ‌ها با استفاده از هر تعداد نمونه تقریباً برحمنطبق بوده است. همچنین باز هم مشابه با قبل، با استفاده از ۱۰۰۰ نمونه برای هر متغیر، پراکندگی در

همانطور که در شکل ۹ مشخص شده است پاسخ بهدست آمده از روش SGH و روش معمول با استفاده از تابع توزیع، همخوانی بسیار بالایی با یکدیگر داشته‌اند و

شده‌اند.



شکل ۱۱- نیروهای وارد و مودهای خرابی سد بتنی وزنی [۲۳]

در شکل ۱۱، نیروهای  $W_D$  برابر وزن بدنه سد و  $W_W$  نشان‌دهنده نیروی عمودی حاصل از وزن آب باقی‌مانده روی شیب‌های بالادست بدنه می‌باشند. این دو نیرو در جهت پایداری سد عمل کرده و عاملی در جهت افزایش ایستایی سازه خواهند بود. نیروهای  $F_E$ ,  $F_D$ ,  $F_S$  و  $F_U$  به ترتیب بیانگر نیروی هیدرواستاتیک، هیدرودینامیک، نیروی زلزله وارد شده به بدنه سد و نیروی بالابرندۀ در کف سازه می‌باشند که باعث ایجاد دو مود خرابی در سازه خواهند شد. این دو مود عبارتنداز: خرابی لغزشی و خرابی چرخشی که در شکل ۱۱ توسط هاشور نشان داده شده‌اند.

[۲۳]

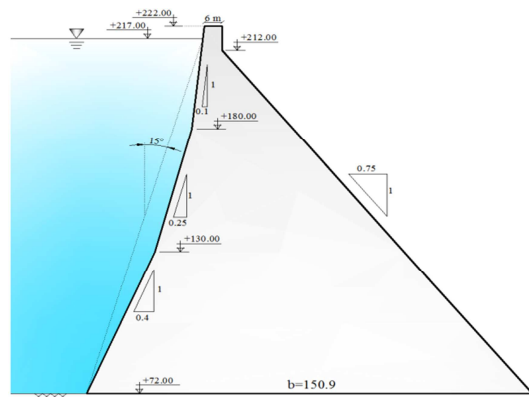
مود خرابی لغزشی هنگامی اتفاق می‌افتد که بردار برآیند نیروهای افقی رو به جهت پایین‌دست سد باشد [۲۴ و ۲۵]. روابط مورد نیاز برای محاسبه احتمال خرابی لغزشی در ادامه بیان شده است.

برای محاسبه احتمال خرابی لغزشی نیاز است تا نیروهای مقاوم در برابر لغزش و ایجادکننده لغزش، شناسایی شوند. نیروی موجود در سطح اندرکنش سد و فونداسیون در برابر حرکت افقی مقاومت می‌کند و نیروی افقی محرك که ایجاد حرکت در سد می‌نماید، نیروی هیدرواستاتیک و هیدرودینامیک آب دریاچه و زلزله می‌باشد [۲۶ و ۲۷]. تابع شرایط حدی براساس نسبت مقاومت موجود به بارهای وارد و توسط رابطه (۴) به دست

پاسخ‌های به دست آمده زیاد بوده و با افزایش تعداد نمونه، این مقدار پراکندگی کمتر شده است.

#### ۴-۳-۴- احتمال خرابی لغزشی و واژگونی سد بتنی وزنی

برای ارائه یک مثال عملی و ارزیابی عملکرد روش بیان شده در پژوهش حاضر، از مشخصات هندسی و مکانیکی سد بتنی شفارود استفاده شده است. سد مخزنی شفارود در غرب گیلان، منطقه پونل رضوانشهر بر روی رودخانه شفارود و در فاصله ۲/۵ کیلومتری شهرستان رضوانشهر و ۶۵ کیلومتری کلانشهر رشت احداث شده است. با اجرای طرح مذکور، شرایط لازم جهت تأمین آب مطمئن برای بخش‌های کشاورزی، شرب، صنعت و محیط‌زیست فراهم می‌گردد. ارتفاع سد برابر ۱۵۰ متر و عرض تاج ۶ متر می‌باشد که مشخصات دقیق آن در شکل ۱۰ نشان داده شده است.



شکل ۱۰- مشخصات هندسی سد بتنی شفارود [۲۱]

نیروهای موجود در نظر گرفته شده در مثال حاضر عبارتنداز: وزن بدنه سد، نیروی عمودی وزن آب روی شیب‌های بدنه سد، نیروی افقی هیدرواستاتیک، نیروی افقی هیدرودینامیک، نیروی زلزله با ضریب ۰/۱ و نیروی برکنش [۲۱]. مدل مورد بررسی به صورت دو بعدی در نظر گرفته می‌شود و نیروهای موجود برای ضخامت ۱ متر بدنه محاسبه می‌گردد [۲۲]. به این ترتیب، وزن بدنه سد برابر خواهد بود با ضرب مساحت بدنه در وزن مخصوص بتن مورد استفاده. همچنین نیروهای هیدرواستاتیک، هیدرودینامیک و بالابرندگی نیز در شکل ۱۱ امشخص

$$g_{Overturning}(h, \gamma_c, \varphi, C) = \frac{W_D \times d_{wd} + W_W \times d_{ww}}{F_D \times d_{FD} + F_S \times d_{FS} + F_E \times d_{FE} + F_U \times d_{FU}} - 1 \quad (5)$$

خرابی واژگونی، هنگامی رخ می‌دهد که ضریب اطمینان در برابر واژگونی از ۱ کمتر شود. در رابطه (۵)، هرکدام از آنها برابر بازوی لنگر برای هرکدام از نیروهای ذکر شده در شکل ۱۱ می‌باشدند.

به علت وجود عدم قطعیت در چهار پارامتر ارتفاع آب دریاچه ( $h$ )، وزن مخصوص بتن ( $\gamma_c$ )، زاویه اصطکاک داخلی خاک ( $\varphi$ ) و همچنین چسبندگی خاک ( $C$ )، این عوامل به عنوان متغیرهای تصادفی در نظر گرفته شده‌اند. مطابق جدول ۳ مشاهده می‌شود که هر چهار متغیر از توزیع نرمال پیروی می‌کنند. حال با استفاده از این چهار متغیر تصادفی می‌توان احتمال خرابی را محاسبه نمود.

می‌آید [۲۲ و ۲۳]:

$$g_{Sliding}(h, \gamma_c, \varphi, C) = \frac{(W_D + W_W - F_U) \tan \varphi + A C}{F_D + F_S + F_E} - 1 \quad (6)$$

در این رابطه،  $\varphi$  و  $C$  به ترتیب بیانگر زاویه اصطکاک داخلی و چسبندگی سطح اندرکنش فونداسیون و بدن سد می‌باشند. مقدار  $A$  نیز مساحت این سطح اندرکنش است که برای ضخامت سد به مقدار ۱ متر در نظر گرفته می‌شود و در نتیجه برابر با عرض بخش تحتانی سد خواهد بود. خرابی لغزشی هنگامی به‌وقوع می‌پیوندد که برآیند نیروهای مقاوم از برآیند نیروهای محرک کمتر شود و یا به عبارت دیگر، ضریب اطمینان کمتر از ۱ گردد [۲۸ و ۲۹].

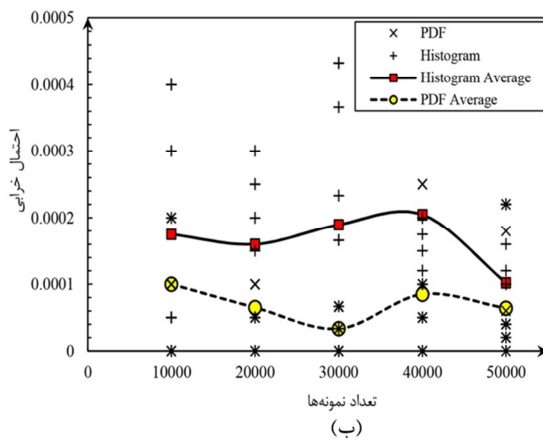
ضریب اطمینان در برابر واژگونی توسط تقسیم لنگرهای پاد ساعتگرد بر لنگرهای ساعتگرد حول نقطه (\*) که در شکل ۱۱ نشان داده شده است، مطابق رابطه (۶) به دست می‌آید [۲۹ و ۳۰]:

جدول ۳- پارامترهای متغیرهای تصادفی سد بتُنی شفارود [۲۰ و ۲۱]

$C (Kg/m^2)$	$\varphi (^\circ)$	$\gamma_c (Kg/m^3)$	$h (m)$	متغیر
۶۳	۵۳	۷۱	۸۴	تعداد نمونه
نرمال	نرمال	نرمال	نرمال	بهترینتابع
۳۹۵۷۰۰	۳۰/۰۱	۲۳۵۵	۱۴۰/۹	میانگین
۳۵۰۱۰	۲/۸۹۴	۳۴۲/۹	۵/۸۳۵	واریانس
۰/۱۰۱۸	۰/۰۷۱۶	۱/۹۵۹	۱/۷۰۳	خطای کالاسکور
۵/۲۶۳	۳/۰۴۷	۰/۰۴۱۶	۰/۰۵۹۵	خطای کولموگروف
				نمودار تابع توزیع

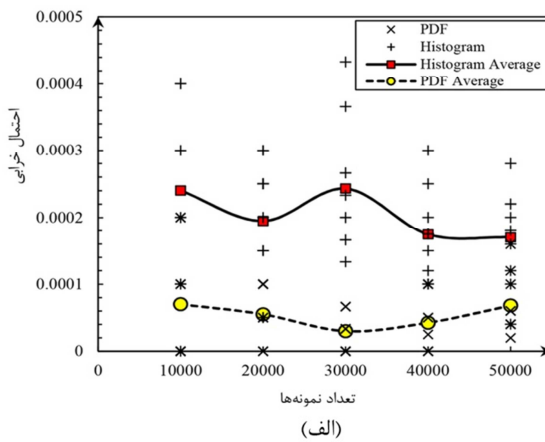
مقایسه گردید.

احتمال خرابی لغزشی سد شفارود با توجه به شکل - (الف)، در محدوده بسیار کوچکی واقع شده است که در حداقل حالت خود به  $2/429 \times 10^{-4}$  محدود می‌شود. کاهش واریانس با افزایش تعداد نمونه در عملکرد هر دو روش مشاهده شده است. میزان احتمال خرابی به دست آمده توسط هر دو روش، بسیار نزدیک به هم بوده بهطوری که منجر به ارائه شاخص قابلیت اطمینان بسیار نزدیکی به هم خواهد شد.



(ب)

با توجه به اینکه احتمال خرابی سد بتني وزني بسيار پايين مي باشد، لذا برای محاسبه احتمال خرابي توسط روش مونت کارلو از تعداد بيشتری نمونه استفاده شده است. تعداد نمونه‌ها عبارتنداز: ۱۰,۰۰۰، ۲۰,۰۰۰، ۳۰,۰۰۰، ۴۰,۰۰۰ و ۵۰,۰۰۰ نمونه که احتمال خرابي لغزشی و واژگونی سد براساس شکل ۱۲، بهطور جداگانه با استفاده از هر دو روش معمول و روش ارائه شده در اين پژوهش با نام SGH محاسبه و با يكديگر مقایسه شده است. باز هم مشابه با قبل برای هر تعداد نمونه ده مرتبه احتمال خرابي محاسبه شد و ميانگين آنها با يكديگر



(الف)

شکل ۱۲- احتمال خرابی (الف) لغزشی و (ب) واژگونی سد بتني شفارود

تابع چگالی به مقدار  $3/719$  خواهد بود، در صورتی که این شاخص در روش SGH به مقدار  $3/5678$  رسیده است. این اختلاف ناچیز بیانگر عملکرد مناسب روش پیشنهادی می‌باشد. همانطور که بیان شد با نگاهی دقیق‌تر مشخص می‌شود که روش SGH باعث کاهش عدم قطعیت‌های ناشی از برازش نمودار خواهد شد و پاسخ به دست آمده تطابق بیشتری با واقعیت دارد.

#### ۴-۴- احتمال خرابی خرپای قوسی پل بوروکریگ

مثال حاضر بهمنظور ارائه یک مسئله با تابع شرط حدی ضمنی، به تحلیل احتمال خرابی یک پل قوسی در آریزونا می‌پردازد [۳۱]. این پل دارای ۳۴ دهانه ۲۰ اینچی بوده که در کل، عرض دهانه آن برابر با ۶۸۰ اینچ

ميانگين احتمال خرابي‌های به دست آمده برای سد بتني شفارود در مود خرابي واژگونی با استفاده از ۱۰,۰۰۰ نمونه و روش معمول که در آن برای تولید نمونه از معکوس تابع تجمعی استفاده می‌شود و با نام تابع چگالی <sup>۲۳</sup> نشان داده شده است، مقدار  $0.0001/0.00018$  رسیده است. مشاهده می‌شود که با وجود فاصله ظاهری دو نمودار، پاسخ‌ها بسیار به هم نزدیک بوده‌اند. اگر شاخص قابلیت اطمینان هرکدام از احتمال‌های خرابی با استفاده از معکوس تابع تجمعی استاندارد نرمال محاسبه شوند، شاخص مربوط به روش

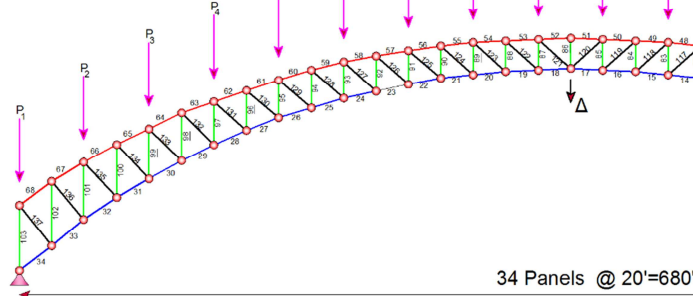
<sup>23</sup>- PDF

$$a_1 = 0.82 \text{ (ft}^2\text{)} \quad a_2 = 0.4 \text{ (ft}^2\text{)}$$

$$a_3 = 0.42 \text{ (ft}^2\text{)} \quad a_4 = 0.2 \text{ (ft}^2\text{)}$$

$P_9$  نه بار نقطه‌ای نیز توسط پارامترهای  $a_1$  الی  $a_4$  نشان داده شده‌اند که مقدار آنها نیز بر حسب پوند می‌باشد و برای دو سمت خرپا به صورت متقابله هستند. بارهای وارد بر نقاط مشخص شده در این مثال به عنوان متغیرهای تصادفی در نظر گرفته شده‌اند.

می‌باشد. وترهای فوقانی و تحتانی پل دارای شکل غیر خطی قوسی می‌باشند. با توجه به شکل ۱۳، مساحت مقاطع با شماره‌های (۱۰۳ تا ۳۴)، (۳۵ تا ۶۸)، (۱۳۷ تا ۱۰۴) به ترتیب با  $a_1, a_2, a_3$  و  $a_4$  نشان داده شده‌اند. مقادیر اسمی سطوح مقاطع به این ترتیب می‌باشند:



شکل ۱۳- خرپای قوسی پل بوروکریگ [31]

و تحلیل می‌شود. مقدار تغییرمکان در نقطه میانی و تر تحتانی که در شکل ۱۳ نشان داده شده است در هر تحلیل محاسبه شده و در تابع شرایط حدی قرار داده و احتمال خرابی محاسبه می‌شود.

شماره اعضا و نقاط مفصلی خرپا و همچنین موقعیت اعمال بار در شکل ۱۳ نشان داده شده‌اند. تابع شرایط حدی این مسئله، به این صورت است که تغییرمکان بیشینه نقطه میانی خرپا از  $81/80^\circ$  فوت بیشتر نشود. لذا برای تابع شرایط حدی خواهیم داشت:

$$g_{Truss}(P_1, \dots, P_9) = 0.81 - \Delta \quad (6)$$

پس از حل مسئله حاضر با دو رویکرد متدائل و پیشنهادی، نتایج در برابر تعداد نمونه‌های مورد استفاده در جدول ۵ ارائه شده‌اند.

همچنین مطابق با روند پیشین نتایج حاصل از تحلیل این مسئله توسط روش معمول (PDF) و روش پیشنهادی (Histogram) در شکل ۱۴ بیان شده است.

این بارها از توزیع گامبل<sup>۲۴</sup> پیروی می‌نمایند که پارامترهای آنها در جدول ۴ گزارش شده است. مدول الاستیسیته تمامی قطعات نیز برابر با  $4/2 \times 10^9$  پوند بر فوت مربع می‌باشد.

جدول ۴- پارامترهای توزیع متغیرهای تصادفی مسئله خرپای پل قوسی [۳۱]

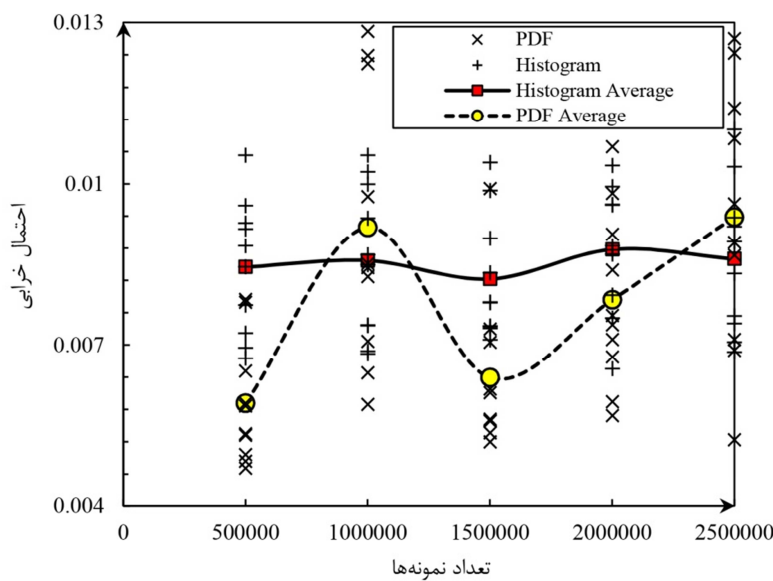
متغیر	توزیع	میانگین (پوند)	ضریب تغییرات
$P_1$	گامبل	۴۵۷۰.۸۰	۰/۱۸
$P_2$	گامبل	۲۲۸۵۴۰	۰/۱۷
$P_3$	گامبل	۲۲۸۵۴۰	۰/۱۶
$P_4$	گامبل	۲۲۸۵۴۰	۰/۱۵
$P_5$	گامبل	۲۲۸۵۴۰	۰/۱۴
$P_6$	گامبل	۲۲۸۵۴۰	۰/۱۳
$P_7$	گامبل	۲۲۸۵۴۰	۰/۱۲
$P_8$	گامبل	۲۲۸۵۴۰	۰/۱۱
$P_9$	گامبل	۲۲۸۵۴۰	۰/۱۰

حل این مسئله با استفاده از روش اجزای محدود که توسط متلب کدنویسی شده است، برای هر نمونه فراخوانی

<sup>24</sup>- Gumbel distribution

جدول ۵- نتایج عددی حاصل از حل مسئله خرپا

روش پیشنهادی		روش معمول	
احتمال خرابی	تعداد نمونه	احتمال خرابی	تعداد نمونه
۰/۰۰۸۴۴۹	۵۰۰۰۰	۰/۰۰۵۹۱۱	۵۰۰۰۰
۰/۰۰۸۵۷۰	۱۰۰۰۰	۰/۰۰۹۱۸۸	۱۰۰۰۰
۰/۰۰۸۲۲۶	۱۵۰۰۰	۰/۰۰۶۳۸۹	۱۵۰۰۰
۰/۰۰۸۷۷۷	۲۰۰۰۰	۰/۰۰۷۸۳۹	۲۰۰۰۰
۰/۰۰۸۶۰۱	۲۵۰۰۰	۰/۰۰۹۳۸۳	۲۵۰۰۰



شکل ۱۴- احتمال خرابی مسئله پل بوروکریگ

## ۵- نتیجه‌گیری

در پژوهش حاضر، یک روش ساده و مؤثر در تولید نمونه برای محاسبه احتمال خرابی با استفاده از روش مونت کارلو ارائه شد. روش‌های رایج برای تولید، مجبور به پذیرفتن مقداری خطا برای سازگار نمودنتابع توزیع با نمودار هیستوگرام داده‌ها می‌باشند. همچنین یافتن معکوس تابع تجمعی در برخی موارد غیرممکن است و می‌بایست از روش‌های تقریبی بهره جست که این روش‌ها نیز دارای عدم قطعیت هستند [۳۲ و ۳۳]. روش تولید نمونه با استفاده از هیستوگرام، یک روش سریع و مستقیم بوده و در آن هیچ نیازی به محاسبه پارامترهای داده‌های موجود مثل میانگین، واریانس، انحراف معیار و غیره

مشاهده می‌شود که در تحلیل این مسئله پنج مقدار ۵۰۰,۰۰۰ الی ۲,۵۰۰,۰۰۰ نمونه در نظر گرفته شده است. احتمال خرابی با استفاده از دو روش معمول و پیشنهادی توسط پنج مقدار مختلف نمونه‌ریزی محاسبه گردید. برای هر مقدار نیز ده مرتبه تکرار روش صورت داده شد. میانگین تمامی مقادیر احتمال خرابی حاصل از روش معمول برابر با ۰/۰۰۸۵۲ و روش پیشنهادی ۰/۰۰۸۷۴ بوده است. اما همانطور که ملاحظه می‌شود نتایج حاصل از روش پیشنهادی، با استفاده از هر مقدار نمونه‌ریزی دارای نتایج مطلوبی بوده‌اند و به میانگین بسیار نزدیک بوده و انحراف معیار پاسخ کوچکی نسبت به روش معمول داشته‌اند. نتایج، به طور کل، نشان‌دهنده کارآیی و پایداری روش پیشنهادی بوده است.

گرفت. مثال سوم هم مربوط به بررسی احتمال خرابی لغزشی و واژگونی سد بتنی شفارود بوده است. نتایج به دست آمده از تمامی مثال‌ها با روش معمول تولید نمونه مقایسه شد. نتایج نیز به طور کل نشان‌دهنده سهولت و دقیقیت استفاده از این روش نسبت به روش‌های معمول می‌باشد. تنها مشکل این روش این است که برای تولید نمونه‌های مناسب به تعداد داده‌های کافی نیاز است تا بتوان نمودار هیستوگرام مناسبی ایجاد نمود.

نیست. در این روش با استفاده از تنها یک کد عمومی می‌توان برای هر نوع توزیعی بدون دانستن نوع تابع توزیع داده‌ها و میانگین و واریانس آنها، نمونه تولید کرد. عملکرد این روش توسط سه مثال مختلف مورد ارزیابی قرار گرفت. مثال اول مربوط به یک مسئله در فضای چهاربعدی بوده که در آن احتمال خرابی یک تیر بتن مسلح تحت لنگر با چهار پارامتر به عنوان متغیر تصادفی محاسبه شد. در مثال دوم نیز احتمال خرابی یک تیر فولادی سراسری با سه متغیر تصادفی مورد بحث قرار

## مراجع

- [1] Engelund, S., & Rackwitz, R. (1993). "A benchmark study on importance sampling techniques in structural reliability", *Structural Safety*, 12(4), 255-276.
- [2] Sorensen, J. D. (2004). "Structural Reliability Theory And Risk Analysis", Institute of Building Technology and Structural Engineering, *Aalborg University*.
- [3] Escuder-Bueno, I., Altarrejos-Garcia, L., & Serrano-Lombillo, A. (2012). "Methodology for estimating the probability of failure by sliding in concrete gravity dams in the context of risk analysis", *Structural Safety*, 36, 1-13.
- [4] Kiureghian, D. A., & Dakessian, T. (1998). "Multiple design points in first and second order reliability", *Struct Safety*, 20, 37-49.
- [5] Rahman, S., & Wei, D. (2006). "A univariate approximation at most probable point for higher-order reliability analysis", *International journal of solids and structures*, 43(9), 2820-2839.
- [6] Rackwitz, R. (1988). "Updating first and second-order reliability estimates by importance sampling", *Doboku Gakkai Ronbunshu*, 1988(392), 53-59.
- [7] Rackwitz, R., & Fiessler, B. (1978). "Structural reliability under combined random load sequences", *Computers & Structures*, 9(5), 489-494.
- [8] Kubler, O. (2007). *Applied decision-making in civil engineering*. Vol. 300, vdf Hochschulverlag AG.
- [9] Cornell, A. (1969). "A probability based structural code", *Journal Proceedings*, 66(12), 974-985.
- [10] Hasofer, A. M., & Lind, N. C. (1974). "Exact and invariant second-moment code format", *Journal of the Engineering Mechanics division*, 100(1), 111-121.
- [11] Tu, J., Choi, K. K., & Park, Y. H. (1999). "A New Study on Reliability-Based Design Optimization", *Journal of Mechanical Design*, 121(4), 557-564.
- [12] Bartelt, P., Adams, E., Christen, M., Sack, R., & Sato, A. (2004). *Snow Engineering V. Proceedings of the Fifth International Conference on Snow Engineering*, Davos, Switzerland.
- [13] Hohenbichler, M., & Rackwitz, R. (1986). "Sensitivity and importance measures in structural reliability", *Civil engineering systems*, 3(4), 203-209.
- [14] Fiessler, B., Neumann, H. J., & Rackwitz, R. (1979). "Quadratic limit states in structural reliability", *Journal of the Engineering Mechanics Division*, 105(4), 661-676.
- [15] McKay, M. D., Beckman, R. J., & Conover, W. J. (1979). "Comparison of Three Methods for Selecting Values of Input Variables in the Analysis of Output from a Computer Code", *Technometrics*, 21(2), 239–245.
- [16] Thoft-Cristensen, P., & Baker, M. J. (2012). *Structural reliability theory and its applications*. Springer Science & Business Media.
- [17] Denny, M. (2001). "Introduction to importance sampling in rare-event simulations", *European Journal of Physics*, 22(4), 403-411.
- [18] Xu, Q., Chen, J., & Li, J. (2012). "A Study on the Functional Reliability of Gravity Dam", *Energy and Power Engineering*, 4(2), 59-66.
- [19] Bretas, E. M., Lemos, J. V., & Lourenco, P. B. (2014). "A DEM based tool for the safety analysis of masonry gravity dams", *Engineering Structures*, 59, 248-260.
- [20] Nowak, A. S., & Collins, K. R. (2012). *Reliability of Structures*. CRC Press.

- [21] Khatibinia, M., & Khosravi, S. (2014). “A hybrid approach based on an improved gravitational search algorithm and orthogonal crossover for optimal shape design of concrete gravity dams”, *Applied Soft Computing*, 16, 223-233,
- [22] USBR. (1976). *Design of Gravity Dams*. United States Department of the Interior, USA.
- [23] FERC. (2002). “Manual for engineering guidelines for the evaluation of hydropower project”, (<http://www.ferc.gov>), USA.
- [24] Su, H., & Wen, Z. (2013). “Interval risk analysis for gravity dam instability”, *Engineering Failure Analysis*, 33, 83-96.
- [25] Teng-Fei, B., Miao, X., & Lan, C. (2012). “Stability Analysis of Concrete Gravity Dam Foundation Based on Catastrophe Model of Plastic Strain Energy”, *Procedia engineering*, 28, 825-830.
- [26] Zhang, S., Wang, G., Wang, C., Pang, B., & Du, C. (2014). “Numerical simulation of failure modes of concrete gravity dams subjected to underwater explosion”, *Engineering Failure Analysis*, 36, 49-64.
- [27] Kartal, M. E., Bayraktar, A., & Basaga. H. B. (2010). “Seismic failure probability of concrete slab on CFR dams with welded and friction contacts by response surface method”, *Soil Dynamics and Earthquake Engineering*, 30(11), 1383-1399.
- [28] Jiang, S., Du. C., & Hong. Y. (2013). “Failure analysis of a cracked concrete gravity dam under earthquake”, *Engineering Failure Analysis*, 33, 265-280.
- [29] Kartal, M. E., Basaga, H. B., & Bayraktar, A. (2011). “Probabilistic nonlinear analysis of CFR dams by MCS using Response Surface Method”, *Applied Mathematical Modelling*, 35(6), 2752-2770.
- [30] Bretas, E. M., Léger, P., & Lemos, J. V. (2012). “3D Stability analysis of gravity dams on sloped rock foundations using the limit equilibrium method”, *Computers and Geotechnics*, 44, 147-156.
- [31] Zhang, J., Xiao, M., & Gao, L. (2019). “A new method for reliability analysis of structures with mixed random and convex variables”, *Applied Mathematical Modelling*, 70, 206-220.
- [32] Xu, J., & Kong, F. (2019). “Adaptive scaled unscented transformation for highly efficient structural reliability analysis by maximum entropy method”, *Structural Safety*, 76, 123-134.
- [33] Mustapha, A., & Abejide, O. (2019). “Probabilistic Strength of Steel Poles Used for Power Production and Transmissions”, *Reliability Engineering and Resilience*, 1(1), 29-41.